

# 形变模量及其测定新法

沙慶林 著

人民交通出版社

本書介紹了路基土强度的表示方法及影响土强度的因素，有关在荷重作用下材料形变的理論，如何用形变等速增加法測定形变模量的新方法，如何測定路面及路基土的形变模量等。

本書可供公路科学的研究工作者，工程师及技术員，以及大专学校道路专业的师生工作与学习参考之用。



## 形变模量及其測定新法

沙庆林 著

\*

人民交通出版社出版

(北京安定門外和平里)

北京市書刊出版業營業許可證出字第〇〇六号

新华书店发行

人民交通出版社印刷厂印刷

本

1959年2月北京第一版

1959年2月北京第一次印刷

开本：787×1092毫米

印张：3 1/2 张

全书：106000 字

印数：1—2,600 册

统一书号：15044·1294

定价（10）：0.55 元

# 目 录

概述 .....	3
<b>第一章 路基土强度的表示法及影响土的强度的因素</b> .....	6
§1 路基土强度的表示法 .....	6
§2 以形变模量表示土的抗形变能力 .....	16
§3 土的状态对其抗形变能力的影响 .....	22
§4 土的結構对其抗形变能力的影响 .....	23
§5 現用的测定土的形变模量的方法 .....	24
§6 論承載板的尺寸 .....	28
<b>第二章 在荷重作用下材料的形变随時間而发展的理論</b> .....	35
§7 引言 .....	35
§8 简單的无松弛現象的物体 .....	38
§9 麥克司威尔的松弛現象 .....	39
§10 形变发展的直線規律 .....	40
§11 形变发展的非直線規律 .....	41
<b>第三章 試驗方法及准备解决的几个問題</b> .....	44
<b>第四章 試驗結果的分析</b> .....	53
§12 理論前提 .....	53
§13 公式 (28) 适用于土及其他路面建筑材料 .....	55
§14 用荷重等速增加法試驗后整理資料的方法 .....	57
§15 土的徐变 .....	67
§16 荷重增加速度对土的形变模量值的影响 .....	73
§17 在电气杠杆压力仪上进行的試驗 .....	89
§18 用瀝青稳定土所作的試驗 .....	90

§19 略論参数：彈性模量 $E_y$ 、粘滯系数 $\eta$ 及松弛 時間 $T$ .....	92
<b>第五章 測定形变模量的另一新法——形变等速增加法</b> .....	94
<b>第六章 对于測定路面材料和路基土的形变模量的意見</b> .....	99
§20 形变模量的測定法 .....	99
§21 路面容許相对形变的决定 .....	104
§22 路面材料的形变模量 .....	109
§23 路基土的形变模量的測定 .....	111
<b>第七章 結束語</b> .....	113
<b>附录 用荷重等速增加注測定形变模量的建議</b> .....	114
<b>参考書</b> .....	122

## 概 述

党的八届二次代表大会已为交通运输事业发出了战斗的口号，这就是要在全国范围内，建立一个以现代工具为主的、四通八达的运输网。由于工农业的大跃进，钢铁产量将要倍增，农产品成倍、几倍、几十倍的增长，汽车所担负的任务是十分繁重的。交通量的急增，对路面结构的要求将会愈来愈高，在目前主要任务是迅速建立地方道路网的同时，建筑高级路面与次高级路面也将会有相应地增加。

在公路建筑的费用中，路基与路面的建筑费用占很大的比重，往往达70~80%（特别是高级公路）。因而，考虑汽车在路面上作用的特性，考虑在各种不同的气候、水文、土壤条件下路基结构的特性，正确地鉴定路面的强度，将愈来愈显得重要。

由个别板体组成的刚性路面，不论下层土的湿度如何，均具有很大的抗弯能力。路基土壤在刚性路面强度中的作用是支持整块板体。在荷载作用下，土的形变对混凝土板厚度的影响较小。刚性路面板的厚度主要与其材料的抗弯强度有关。土的性质（含水量与密实度）的变化对刚性路面厚度的影响较小。

柔性路面的抗弯能力很小。柔性路面的强度，不决定于其材料的抗弯强度，而决定于路面整体破坏时的极限垂直形变。

现代高级公路的路面建筑费用约大于全部建筑费用的60%。因此，合理地设计路面，将会大大降低公路建筑的费用。如何使路面能满足行车的要求，而不具有过多的强度安全系数，如何使路面不过早地破坏、不需加强修补工作，是个很重要的问题。

路面，特别是柔性路面的耐久性，在极大程度上取决于对土的强度的正确鉴定。因而，正确鉴定土的强度，在路面设计中具有很重大的意义。

土抵抗形变的能力，常用圆形承载板的压入曲线，即用承载板上的单位压力 $P$ 与其下陷深度 $l$ 间的关系图来表示（图1）。

在工程设计中，常用下列几种参数来表示土的强度：

1. 承載能力，即：

适合于某一已定形变的 $P$  值  
( $\delta = \text{常数}$ )；

适合于某一极限形变的 $P$  值  
( $\delta = \delta_{\text{极限}}$ )；

适合于土的形变从压实阶段  
转入剪切阶段时的 $P$  值。

2. 地基系数。

3. 弹性模量。

4. 形变模量。

在计算中，也有用方程式来  
表示荷重——形变的关系曲线。  
如

$$P = C/\mu \quad (1)$$

式中： $C$  和  $\mu$  为曲线的参数。

目前在各国应用的有 50 种以上计算路面厚度的方法。这些方法，一般都是建筑在由经验所得的路面厚度与路基土的特性间的关系上。这些方法中，土的特性有用一定形变下（从 0.5 到 12.5 公厘）的承载能力，有用弹性模量，有用相当于小形变值（可看作是直线关系的）的形变模量，也有用地基系数来表示 [20①]。

在苏联及在我国所应用的柔性路面设计法中，土的形变模量是最主要的计算参数。形变模量表示路基土壤抵抗形变的能力。形变模量值是根据一段试验所得的“荷重—形变”曲线的弦，用公式 (7) 计算而得的。

所有的柔性路面的计算方法，像建筑力学中所用的方法那样，其前提是：把材料的形变性能看作直线关系。这些方法没有考虑土壤的真实性质：弹性、粘滞性及塑性。此外，正如试验所表明，除湿度很小的压实土壤外，即使荷重很小，荷重与形变间都不存在直线关系。

尽管正确地鉴定路基土壤强度的问题，在路面设计中具有很重大的

① 方括号内的数字表示参考书的号数。

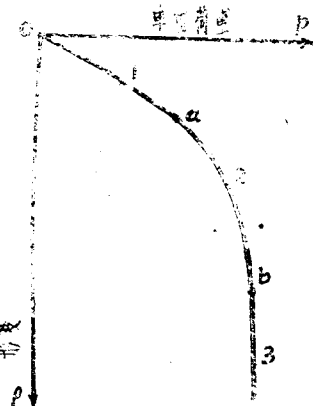


图 1

意义，但以往却是很少被人研究，仅在最近几年来才给予了較多的注意。因而，直到目前为止，还没有一个为大家所公認的形变模量的試驗方法（測定法）。

由于缺乏普遍适用的测定形变模量的方法，对那些还不能用試驗法来定出形变模量值的公路业务机构，工作上带来許多困难。正如A.K.比魯利亞教授所指出的，无疑地将使在实践中应用新的路面結構复杂化〔1〕。

路面建筑材料的形变模量的計算值，并不是經過數次試驗就能确定的；它需要进行很多次的試驗后才能确定，是相当繁重的、需要很长時間才能完成的一种工作。尤其是测定土的形变模量，工作就更加繁重，要求更多的時間、人力与物力。土的形变模量受很多自然因素的影响，同一地段上的同一种土的强度，在一年中的变化可达數倍之多。由于路基土壤的复杂性及其(含水量及干容重)状态的不均匀性，在实验室中制备試模并进行测定其形变模量，几乎不能获得与实际相符的形变模量值。作者認為，只有在野外进行实地测定，才能获得土的形变模量的可靠的計算值。

土的湿度对其形变模量的影响极大。因此，潮湿季节是路面整体及路基土工作的最不利季节。甚至在此最不利季节內，在野外直接测定土的形变模量，都很难获得土的形变模量的計算值。这是因为所测的这年土的湿度可能不是最大的。因而，必須在各个不同气候区内，对各种不同条件下的路基土壤进行测定；并連續进行几年的测定。在对土壤最不利的季节中，土的状态每天都有变化（尤其在冰冻地区的春融期間），进行测定的那天也还可能不是土的状态最坏的一天，因此，还必須在同一地段进行連續几天的测定。只有用这种方法在野外进行测定，在积累大量資料后，才能定出土的可靠的形变模量計算值。

公路建筑的日发展及确定土的形变模量的計算值的复杂性，要求有一个能普遍使用的、簡易的形变模量測定法。这种方法在理論上既应考虑土的真實性質，在实际上又应使我們有可能很快地积累試驗資料，以定出土及其他路面建筑材料的形变模量計算值。

本書即为介紹作者研究所得的测定形变模量的新方法。書中介紹的

方法及全部試驗資料，雖僅以土壤為對象，作者認為，在測定其他路面建築材料及路面整體的形變模量時，也可以採用。

作者的全部研究工作，是在蘇聯著名學者H.H.伊萬諾夫教授的直接領導下完成的，在此特向他表示感謝。

# 第一章 路基土強度的表示法及影響 土的強度的因素

## §1 路基土強度的表示法

未受外力作用的土的形變主要是由水引起的。水可能引起土的濕脹或收縮。由粗顆粒組成（粗砂、礫石）的土，濕脹不大，細顆粒組成的土濕脹可能達到很大的程度；土顆粒愈小，濕脹愈大。在干燥季節，則恰恰相反，含有水的土發生收縮，土顆粒愈小，收縮愈大。因而，當氣候濕潤和干燥交替時，路基土就受到交替的濕脹與收縮作用。

土的形變會引起路面不均勻的形變，從而使面層產生裂縫。此種現象在冰凍地區更為嚴重。

土的形變與很多因素有關，例如：氣候、水文情況，土的特性與狀態，路面厚度等。

在外力作用下，土發生形變。這種形變，是土在應力及濕度變化的影响下，產生一系列的變化過程的結果。加外力於土，引起土顆粒、處於各種狀態下的水及土孔隙中的空氣的相互移動。可能有下列幾種移動的形式〔4.28〕。

1. 土顆粒相互接觸處的吸附水膜發生形變。
2. 土顆粒本身發生形變（形變的結果也可能使顆粒破碎）。
3. 土顆粒間的相互移動，由此土顆粒獲得較穩定的位置。
4. 水及空氣從土孔隙中被擠出，由此土顆粒更相接近。
5. 在土孔隙中的不能被擠出的空氣泡的壓縮。

這些現象中的每一個現象，在土發生形變的過程中的作用是不一樣的。由於土的組成與狀態的不同，在土發生形變的過程中；可能這種或

那种移动形式起着主要作用。

当极细颗粒的粘性土发生形变时，粘结水膜厚度的变化起着作用。水膜有粘滞性，愈接近颗粒表面，粘滞性愈大。在外力作用下，两颗粒接近时，可能从两颗粒的接触处，挤出部份水膜。水膜被挤出后即转成自由水，附在片状的粘土颗粒上，水膜可达到颗粒那样的厚度。因而，水膜被挤出时的颗粒的接近，在土的全部压缩过程中可能起很大的作用。

外力除去后，粘结水膜部份地恢复到原来的厚度，而又把颗粒推开。

在松散土的变形中，土颗粒及结构集粒的相互移动具有决定性的意义。这种土的特点是每个土颗粒的位置不稳定。

在压实饱水的土时，相互移动的土颗粒应挤出充满于土颗粒孔隙间的水。这种形变发生得较慢。因为挤出水的速度决定于水沿着土粒间微小孔隙移动的速度。

上述各种形变中的一部份是弹性形变，而另一部份是塑性形变。后者在外力除去后不能恢复。

下列几种形变是塑性形变：

1. 土颗粒的相互移动；
2. 土颗粒及结构集粒的破碎；
3. 由于从土中挤出空气与水而产生的形变。

下列几种形变是弹性形变：

1. 在外力除去后，部份被挤出的水回至原位，原来由此部份水的被挤出所引起的土体的压缩；
2. 气泡的压缩；
3. 土颗粒本身的弹性形变；
4. 粘结水膜的形变。

在很多资本主义国家中，设计柔性路面厚度时，主要用承载能力来表示土的强度。承载能力是在一已定的形变值下决定的（承载板的下陷值与其直径的比值为0.05）。

承载能力是用C.B.R（美国加利福尼亚州的承载能力比）法试验求出。C.B.R法的实质如下：对路堤用结构破坏的土样，对路堑及与地面

同高之处，取原状土样（土样制在直径与高都为15公分的圆筒中）。在实验室中，将土样连续加湿4昼夜（按毛细水上升的原理），然后用直径为5公分的承载板，以1.25公厘/分钟的速度进行压入试验。共压入2.5公厘，所以每次试验的时间为2分钟〔16、20〕。

C.B.R法有某些根本性的缺点，如：

1. 此法没有考虑到在各个不同的气候区域中，土湿度增加的不同情况，土样在4昼夜中受水的作用，以及其结果对某种土所得的湿度大（粉砂土），而对另一种土所得的湿度小（粘土）。因而，对于粘土试验得出的C.B.R值可能较高，而对于粉砂土则较低。实际上，路基土的状态与试验时土的状态（4昼夜加湿试验后所得的状态）是大不相同的。

2. 用此法所求得的C.B.R值很不稳定，即平行试验间的差别很大。这种差别对无粘性的土更大。在英国把这一缺点认为是C.B.R法最根本的缺点。

3. 此法没有考虑面层的区别。C.B.R值被看作与面层无关，被认为是常数，即相当于承载板相对沉陷量0.05时的比值。从§2中的分析，可以看出，在这个方法中，基础土具有较大的强度安全系数。当上层为高级路面时，强度安全系数更大，这就过多地增加了路面的厚度。

在这些国家中，也有用压入承载板法在野外测定土的承载能力的。板上的荷重借油压机（俗名千斤顶）之助，分6~8级逐渐增加。试验土基时，所用承载板的直径为60~70公分。每次荷重在板上一直作用到板的下陷量不超过0.02公厘/分钟为止。实践证明，用此法，每次试验要化数小时之久。

因而，在法国、英国、意大利等资本主义国家中，认为：由于公路里程极大，直接用承载板进行试验，或间接用C.B.R法进行试验，都不大合适。用这些方法时，如要获得可靠的C.B.R值，必须进行大量试验，需要很多时间与资金。

在某些资本主义国家（如西德、瑞典等）中用弹性模量表示土的强度。弹性模量系根据所测得的弹性形变用下式求出：

$$l_y = \frac{\alpha P D}{E_y} \quad (2)$$

式中：

$l_y$ ——弹性形变，公分；

$E_y$ ——弹性模量，公斤/平方公分；

$P$ ——承载板上的单位荷重，公斤/平方公分；

$D$ ——承载板直径，公分；

$\alpha$ ——系数。

对于具有弹性-粘滞性-塑性的材料（如土及其他路面材料），弹性模量并不是常数，它与荷重作用的时间有关。因而，有所谓瞬时弹性模量（或真实弹性模量）与长期弹性模量（或有条件的弹性模量）之分。前者之值大于后者。

在西德及瑞典用压入承载板法测定弹性模量。但他们所用的方法不同，在西德先在直径为75公分的承载板上作用8吨的静荷重，荷重除去后，作第二次试验。第二次试验时，荷重分2~4次增加到6吨。此时所得的荷重-形变曲线被认为是直线关系，即没有产生塑性形变。此直线的斜率称为地基系数  $K$ ，弹性模量：

$$E_y = 0.75 K \cdot D \quad (3)$$

在瑞典是进行10次“加荷-卸荷”重复试验后，根据回复（弹性）形变计算弹性模量。也有在进行一次“加荷-卸荷”试验后，根据回复形变计算弹性模量。用这些方法所求得的是长期弹性模量，都是有条件的。如果对湿度不大及密实度很大的土，可用这些方法试验，则对过份潮湿的土，这些方法将不大合适。因为土在承载板自身重量作用下，荷重虽除去，弹性形变并不能完全回复。

在日本用垂落钢球法求弹性模量。用此法求得的为瞬时弹性模量。

可用形变模量表示土的抵抗形变的能力。形变模量是根据总的形变值决定，不需把弹性与塑性形变分开。

在荷重-形变曲线上，在前段接近直线的曲线范围内，荷重与形变的比例系数叫做土的地基系数：

$$K = \frac{P}{l} \quad (4)$$

$K$ 值在美国及其他国家通常是用压入承载板法决定的。标准承载板

的直徑認為是75公分。利用地基系數代表土的抗形变能力，并認為它是常数，就是承認荷重作用于土时，存在着应力与形变間的直線关系；也就是说，在此，虎克定律起着作用。

理論与實驗証明，形变值不单与土的性質有关，而且与受压的土的体积有关。因而，如在土表面上的单位压力相等，而傳達压力的面積大小不同，则所产生的形变也将不同。由此可知，利用地基系數来表示土的抗形变能力是不恰当的。

在表示土的抗形变能力时，为要消除傳壓面積的影响，不用形变的絕對值 $l$ ，而用其相对值 $\lambda = \frac{l}{D}$ 。實驗証明，受压土的体积与傳壓面積的直徑成比例，在此，用比值

$$E = \frac{\gamma P D}{l} = \frac{\gamma P}{\lambda} \quad (5)$$

表示土的抗形变能力。此比值即所謂的形变模量。

公式(5)可由下述理由得出。

公式(5)是从彈性理論的原理導演出来的。从公式本身的結構来看，它与彈性模量的公式(2)相似。区别仅在于在公式(2)中的形变为彈性形变，而在公式(5)中的形变为总的形变，即彈性形变与塑性形变之和。

苏联公路科学研究院的實驗証明，当荷重通过剛性承載板作用在路面上时，在多层路面中及在土中应力分布的情况可用雅庫宁公式表示〔15〕。在图2、3及4上的諸点都是在各种不同情况下所測得的点。图上的虛曲綫是根据布辛納公式計算而得，图上的实曲綫是根据雅庫宁的經驗公式(6)計算而得。从图上可明显地看出，雅庫宁公式較布辛納公式更好地表示出应力在多层路面中的分布情况。

$$\sigma_z = \frac{P}{1 + a \left( \frac{Z_3}{D} \right)^2} \quad (6)$$

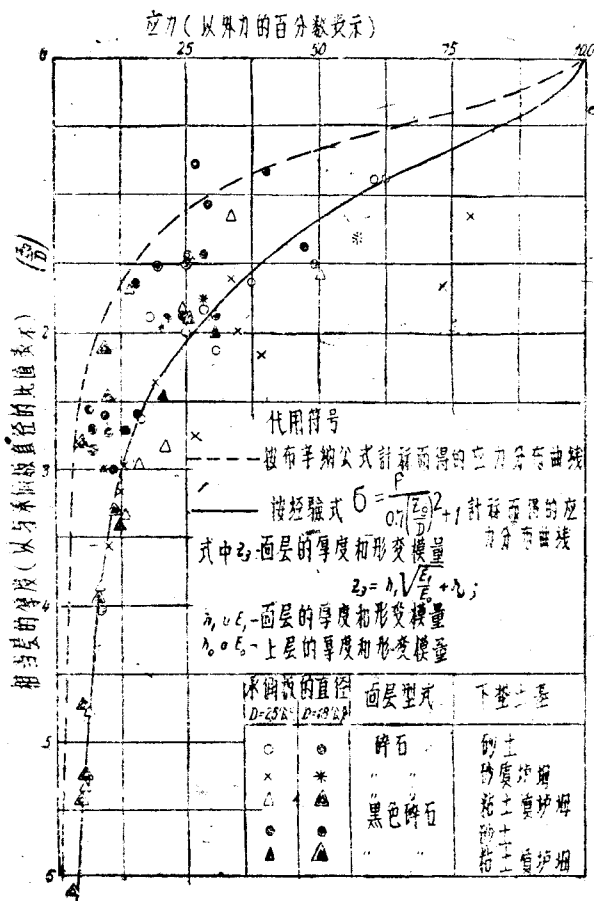


图2 应力的相对值与离表面的相当距离间的关系，当  $m=2$

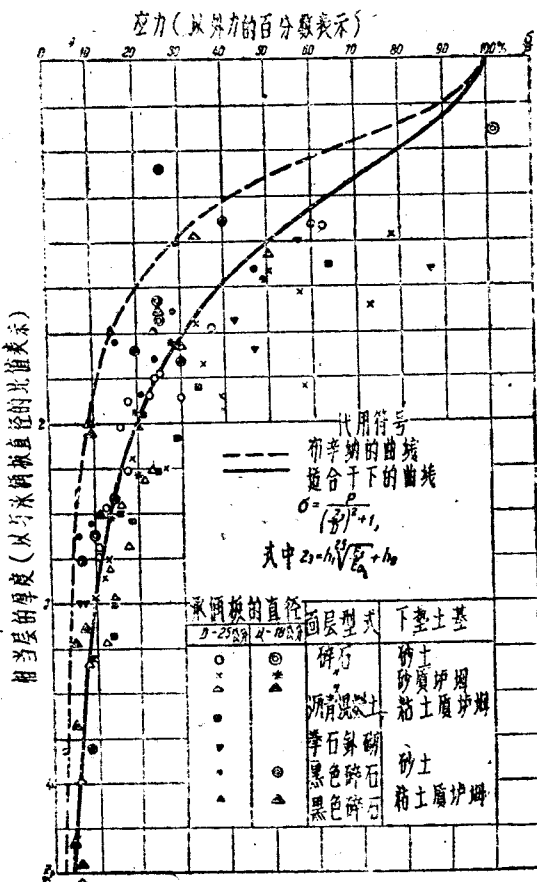


图3 应力的相对值与离表面的相当距离间的关系, 当  $m=2.5$

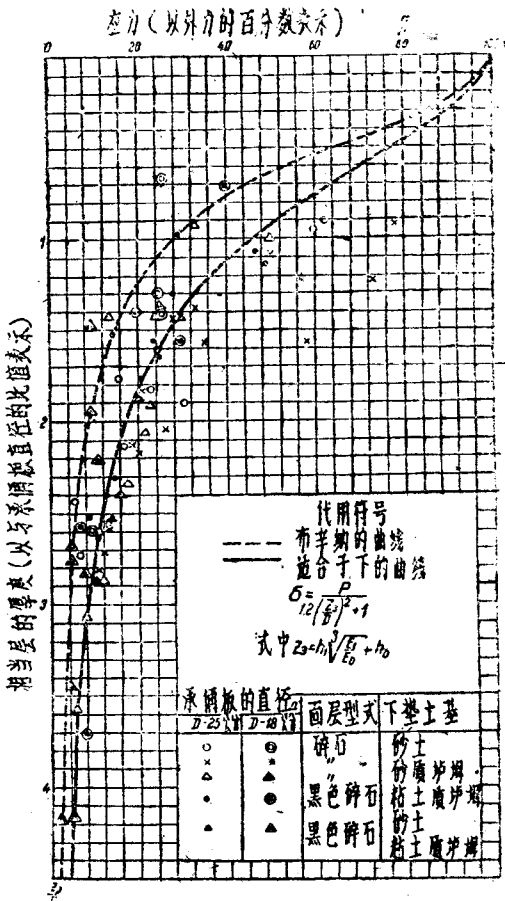


图4 应力的相对值与离表面的相当距离间的关系，当  $m=3$

式中:  $Z_0$ ——决定应力施力点的相当深度, 公分。

$a$ ——与在承载板下应力集中的情况有关的系数。因此, 其值也与材料的性质、均匀性及密实度等有关。 $a$ 值由试验确定。根据苏联的资料, 其值如表1所示。

表 1

材料性质	$a$	$\gamma = \frac{\pi}{2\sqrt{a}}$
弹性的各向同性的物体	2.5	1
多层路面	0.7~1.2 (平均为1.0)	1.9~1.43 (平均为 $\frac{\pi}{2}$ )
土(随土的粘性及含水量而变)	1.5~2.0	1.1~1.3

其他的符号与前相同。

对均匀的同一材料,  $Z_0=Z$ 。此时公式(6)变为:

$$\sigma_z = \frac{P}{1 + a \left( \frac{Z}{D} \right)^2} \quad (6a)$$

今设在土面下 $Z$ 深度处, 取一极薄的土层 $dZ$ 。当土面上受到某一单位荷重 $P$ 后, 在 $Z$ 处发生应力 $\sigma_z$ , 使 $dZ$ 厚的土层发生变形 $dl$ 。此应力 $\sigma_z$ 与应变 $dl/dZ$ 之比值用 $E$ 表示并称其为形变模量。

$$E = \frac{\sigma_z}{dl} = \frac{\sigma_z}{dZ}$$

由此得

$$dl = \frac{\sigma_z dZ}{E}$$

$$l = \frac{1}{E} \int_0^{\infty} \sigma_z dZ$$

以式(6<sup>a</sup>)代入上式，得

$$\begin{aligned}
 t &= \frac{1}{E} \int_0^\infty \frac{P dZ}{1 + a \left(\frac{Z}{D}\right)^2} = \frac{P}{E} \int_0^\infty \frac{dZ}{1 + a \frac{Z^2}{D^2}} \\
 &= \frac{PD}{E\sqrt{a}} \int_0^\infty \frac{d\left(\frac{\sqrt{a}}{D}Z\right)}{1 + \left(\frac{\sqrt{a}}{D}Z\right)^2} = \frac{PD}{E\sqrt{a}} \left[ \arctg \left( \frac{Z\sqrt{a}}{D} \right) \right]_0^\infty = \frac{\pi}{2\sqrt{a}} \frac{PD}{E}
 \end{aligned}$$

由此式得

$$E = \frac{\pi}{2\sqrt{a}} \frac{PD}{t} = \frac{\gamma PD}{t} = \frac{\gamma P}{\lambda}$$

由于 $a$ 是变数， $\gamma$ 值也将是变化的。对几种不同性质的材料与 $a$ 值相适应的 $\gamma$ 值也列于表1中。

因此， $\gamma$ 值不论对多层路面或土来講，都是随实际情况的不同而变化的。苏联的經驗證明，对粘土炉堊 $\gamma$ 值接近于1。

在实际应用中，为了便利起見，同时考慮到一定的强度安全系数，在現用的柔性路面設計法中，当测定均匀的土及均匀的其他路面材料的形变模量时，采取 $\gamma$ 值等于1，即形变模量按(7)式計算〔24〕。

$$E = \frac{P}{\lambda} \quad (7)$$

而在决定路面的相当形变模量时，采用(8)式計算。

$$E_s = \frac{\pi}{2} \frac{P}{\lambda} \quad (8)$$

B.D.叶尔莫柯微奇在1952~1953年測定了应力在双层路面及三层路面中的分布情况。測定应力时，作用在路面上的荷重为静荷重。他所用的路面材料是塑性較大的碎石——土混合料、瀝青稳定土和經過瀝青处理的碎石——土混合料〔13〕。

叶尔莫柯微奇的研究表明，当路面上(承载板上)的单位荷重不超